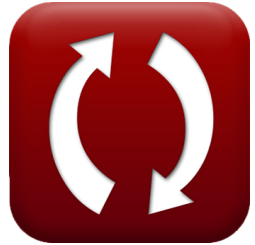


calculatoratoz.comunitsconverters.com

CMOS-Designmerkmale Formeln

[Rechner!](#)[Beispiele!](#)[Konvertierungen!](#)

Lesezeichen calculatoratoz.com, unitsconverters.com

Größte Abdeckung von Rechnern und wächst - **30.000+ Rechner!**
Rechnen Sie mit einer anderen Einheit für jede Variable - **Eingebaute Einheitenumrechnung!**

Größte Sammlung von Maßen und Einheiten - **250+ Messungen!**

Fühlen Sie sich frei, dieses Dokument mit Ihren Freunden zu **TEILEN!**

[Bitte hinterlassen Sie hier Ihr Rückkoppelung...](#)



Liste von 24 CMOS-Designmerkmale Formeln

CMOS-Designmerkmale ↗

1) Aggressionstreiber ↗

fx $R_{agr} = \frac{R_{vi} \cdot k \cdot (C_{adj} + C_{gnd})}{C_{ga} + C_{adj}}$

[Rechner öffnen ↗](#)

ex $1.123254 = \frac{1.98 \cdot 0.62 \cdot (8\text{pF} + 2.98\text{pF})}{4\text{pF} + 8\text{pF}}$

2) Aggressionszeitkonstante ↗

fx $\tau_{agr} = k \cdot \tau_{vi}$

[Rechner öffnen ↗](#)

ex $1.2462 = 0.62 \cdot 2.01$

3) Aggressorspannung ↗

fx $V_{agr} = \frac{V_{tm} \cdot (C_{gnd} + C_{adj})}{C_{adj}}$

[Rechner öffnen ↗](#)

ex $17.49938\text{V} = \frac{12.75\text{V} \cdot (2.98\text{pF} + 8\text{pF})}{8\text{pF}}$



4) Änderung der Frequenzuhr ↗

fx $\Delta f = K_{vco} \cdot V_{ctrl}$

[Rechner öffnen ↗](#)

ex $0.07\text{Hz} = 0.01 \cdot 7\text{V}$

5) Angrenzende Kapazität ↗

fx $C_{adj} = \frac{V_{tm} \cdot C_{gnd}}{V_{agr} - V_{tm}}$

[Rechner öffnen ↗](#)

ex $7.998947\text{pF} = \frac{12.75\text{V} \cdot 2.98\text{pF}}{17.5\text{V} - 12.75\text{V}}$

6) Ausgangstaktphase ↗

fx $\Phi_{out} = 2 \cdot \pi \cdot V_{ctrl} \cdot K_{vco}$

[Rechner öffnen ↗](#)

ex $0.439823 = 2 \cdot \pi \cdot 7\text{V} \cdot 0.01$

7) Eingebautes Potenzial ↗

fx $\psi_o = V_t \cdot \ln \left(\frac{N_a \cdot N_d}{n_i^2} \right)$

[Rechner öffnen ↗](#)

ex $18.81808\text{V} = 0.55\text{V} \cdot \ln \left(\frac{1100/\text{m}^3 \cdot 1.9\text{e}14/\text{m}^3}{(17)^2} \right)$



8) Gesamtkapazität nach Stufe gesehen ↗

fx $C_t = C_{onpath} + C_{offpath}$

[Rechner öffnen ↗](#)

ex $12.2\text{pF} = 3.2\text{pF} + 9\text{pF}$

9) Ground-to-Agression-Kapazität ↗

fx $C_{adj} = \frac{(R_{vi} \cdot k \cdot C_{gnd}) - (R_{agr} \cdot C_{ga})}{R_{agr} - R_{vi} \cdot k}$

[Rechner öffnen ↗](#)

ex $8.829426\text{pF} = \frac{(1.98 \cdot 0.62 \cdot 2.98\text{pF}) - (1.13 \cdot 4\text{pF})}{1.13 - 1.98 \cdot 0.62}$

10) Kapazität Offpath ↗

fx $C_{offpath} = C_t - C_{onpath}$

[Rechner öffnen ↗](#)

ex $9\text{pF} = 12.2\text{pF} - 3.2\text{pF}$

11) Kapazität Onpath ↗

fx $C_{onpath} = C_t - C_{offpath}$

[Rechner öffnen ↗](#)

ex $3.2\text{pF} = 12.2\text{pF} - 9\text{pF}$

12) Off-Path-Kapazität von CMOS ↗

fx $C_{offpath} = C_{onpath} \cdot (b - 1)$

[Rechner öffnen ↗](#)

ex $8.992\text{pF} = 3.2\text{pF} \cdot (3.81 - 1)$



13) Opferfahrer

fx $R_{vi} = \frac{R_{agr} \cdot (C_{ga} + C_{adj})}{k \cdot (C_{adj} + C_{gnd})}$

[Rechner öffnen !\[\]\(e2376d476d06eb31946dc01a69a4403a_img.jpg\)](#)

ex $1.991891 = \frac{1.13 \cdot (4\text{pF} + 8\text{pF})}{0.62 \cdot (8\text{pF} + 2.98\text{pF})}$

14) Opferspannung

fx $V_{tm} = \frac{V_{agr} \cdot C_{adj}}{C_{gnd} + C_{adj}}$

[Rechner öffnen !\[\]\(0b5e7e25e8775f7e7e80906ada4f0021_img.jpg\)](#)

ex $12.75046\text{V} = \frac{17.5\text{V} \cdot 8\text{pF}}{2.98\text{pF} + 8\text{pF}}$

15) Opferzeitkonstante

fx $\tau_{vi} = \frac{\tau_{agr}}{k}$

[Rechner öffnen !\[\]\(bd3b31712ad9bab5a241210fa6925cdd_img.jpg\)](#)

ex $2 = \frac{1.24}{0.62}$

16) Sperrspannung

fx $V_{lock} = V_{ctrl} - V_{offl}$

[Rechner öffnen !\[\]\(7bc43b319a082987e20f7bf78f4bab80_img.jpg\)](#)

ex $2\text{V} = 7\text{V} - 5\text{V}$



17) Statische Verlustleistung ↗

fx $P_{\text{static}} = i_{\text{static}} \cdot V_{\text{bc}}$

Rechner öffnen ↗

ex $5.9994\text{mW} = 2.97\text{mA} \cdot 2.02\text{V}$

18) Statischer Strom ↗

fx $i_{\text{static}} = \frac{P_{\text{static}}}{V_{\text{bc}}}$

Rechner öffnen ↗

ex $2.940594\text{mA} = \frac{5.94\text{mW}}{2.02\text{V}}$

19) Thermische Spannung von CMOS ↗

fx $V_t = \frac{\Psi_0}{\ln\left(\frac{N_a \cdot N_d}{n_i^2}\right)}$

Rechner öffnen ↗

ex $0.549472\text{V} = \frac{18.8\text{V}}{\ln\left(\frac{1100/\text{m}^3 \cdot 1.9\text{e}14/\text{m}^3}{(17)^2}\right)}$

20) VCO Single Gain Factor ↗

fx $K_{\text{vco}} = \frac{\Delta f}{V_{\text{ctrl}}}$

Rechner öffnen ↗

ex $0.011429 = \frac{0.08\text{Hz}}{7\text{V}}$



21) VCO-Offsetspannung 

fx $V_{\text{offl}} = V_{\text{ctrl}} - V_{\text{lock}}$

Rechner öffnen 

ex $5V = 7V - 2V$

22) VCO-Steuerspannung 

fx $V_{\text{ctrl}} = V_{\text{lock}} + V_{\text{offl}}$

Rechner öffnen 

ex $7V = 2V + 5V$

23) Verzweigungsaufwand 

fx $b = \frac{C_{\text{onpath}} + C_{\text{offpath}}}{C_{\text{onpath}}}$

Rechner öffnen 

ex $3.8125 = \frac{3.2\text{pF} + 9\text{pF}}{3.2\text{pF}}$

24) Zeitkonstantes Verhältnis von Aggression zu Opfer 

fx $k = \frac{\tau_{\text{agr}}}{\tau_{\text{vi}}}$

Rechner öffnen 

ex $0.616915 = \frac{1.24}{2.01}$



Verwendete Variablen

- **b** Verzweigungsaufwand
- **C_{adj}** Angrenzende Kapazität (*Pikofarad*)
- **C_{ga}** Erden Sie eine Kapazität (*Pikofarad*)
- **C_{gnd}** Erdkapazität (*Pikofarad*)
- **C_{offpath}** Kapazität Offpath (*Pikofarad*)
- **C_{onpath}** Kapazität Onpath (*Pikofarad*)
- **C_t** Gesamtkapazität in der Bühne (*Pikofarad*)
- **i_{static}** Statischer Strom (*Milliampere*)
- **k** Zeitkonstantes Verhältnis
- **K_{vco}** VCO-Verstärkung
- **N_a** Akzeptorkonzentration (*1 pro Kubikmeter*)
- **N_d** Spenderkonzentration (*1 pro Kubikmeter*)
- **n_i** Intrinsische Elektronenkonzentration
- **P_{static}** Statische Leistung (*Milliwatt*)
- **R_{agr}** Aggressionstreiber
- **R_{vi}** Opferfahrer
- **V_{agr}** Angreiferspannung (*Volt*)
- **V_{bc}** Basiskollektorspannung (*Volt*)
- **V_{ctrl}** VCO-Steuerspannung (*Volt*)
- **V_{lock}** Spannung sperren (*Volt*)
- **V_{offl}** VCO-Offsetspannung (*Volt*)



- V_t Thermische Spannung (Volt)
- V_{tm} Opferspannung (Volt)
- Δf Änderung der Taktfrequenz (Hertz)
- T_{agr} Zeitkonstante der Aggression
- T_{vi} Zeitkonstante des Opfers
- Φ_{out} Ausgangstaktphase
- Ψ_o Eingebautes Potenzial (Volt)



Konstanten, Funktionen, verwendete Messungen

- **Konstante:** pi, 3.14159265358979323846264338327950288
Archimedes' constant
- **Funktion:** ln, ln(Number)
Natural logarithm function (base e)
- **Messung:** Elektrischer Strom in Milliampere (mA)
Elektrischer Strom Einheitenumrechnung ↗
- **Messung:** Leistung in Milliwatt (mW)
Leistung Einheitenumrechnung ↗
- **Messung:** Frequenz in Hertz (Hz)
Frequenz Einheitenumrechnung ↗
- **Messung:** Kapazität in Pikofarad (pF)
Kapazität Einheitenumrechnung ↗
- **Messung:** Elektrisches Potenzial in Volt (V)
Elektrisches Potenzial Einheitenumrechnung ↗
- **Messung:** Trägerkonzentration in 1 pro Kubikmeter (1/m³)
Trägerkonzentration Einheitenumrechnung ↗



Überprüfen Sie andere Formellisten

- **Array-Datenpfad-Subsystem**
[Formeln ↗](#)
- **Eigenschaften der CMOS-Schaltung**
[Formeln ↗](#)
- **CMOS-Verzögerungseigenschaften**
[Formeln ↗](#)
- **CMOS-Designmerkmale**
[Formeln ↗](#)
- **CMOS-Leistungsmetriken**
[Formeln ↗](#)
- **CMOS-Spezialsubsystem**
[Formeln ↗](#)
- **CMOS-Zeiteigenschaften**
[Formeln ↗](#)

Fühlen Sie sich frei, dieses Dokument mit Ihren Freunden zu **TEILEN!**

PDF Verfügbar in

[English](#) [Spanish](#) [French](#) [German](#) [Russian](#) [Italian](#) [Portuguese](#) [Polish](#) [Dutch](#)

12/5/2023 | 4:57:08 AM UTC

[Bitte hinterlassen Sie hier Ihr Rückkoppelung...](#)

